

На правах рукописи

Разинков Евгений Викторович

**МАТЕМАТИЧЕСКОЕ МОДЕЛИРОВАНИЕ СТЕГАНОГРАФИЧЕСКИХ
ОБЪЕКТОВ И МЕТОДЫ ВЫЧИСЛЕНИЯ ОПТИМАЛЬНЫХ
ПАРАМЕТРОВ СТЕГОСИСТЕМ**

Специальность 05.13.18 – Математическое моделирование,
численные методы и комплексы программ

АВТОРЕФЕРАТ

диссертации на соискание ученой степени
кандидата физико-математических наук

Казань – 2012

Работа выполнена в федеральном государственном автономном образовательном учреждении высшего профессионального образования «Казанский (Приволжский) федеральный университет» на кафедре системного анализа и информационных технологий.

Научный руководитель доктор технических наук, профессор
Латыпов Рустам Хафизович

Официальные оппоненты: доктор физико-математических наук,
профессор
Соловьев Валерий Дмитриевич
(Казанский (Приволжский) федеральный университет, г. Казань)

доктор технических наук,
профессор
Файзуллин Рашит Тагирович
(Омский государственный технический университет, г. Омск)

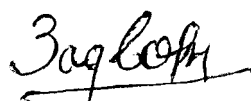
Ведущая организация: Санкт-Петербургский институт информатики и автоматизации РАН, г. Санкт-Петербург.

Защита состоится 13 декабря 2012 г. в 15:30 на заседании диссертационного совета Д 212.081.21 в Казанском (Приволжском) федеральном университете по адресу: 420008, г. Казань, ул. Кремлевская, 18, корп. 2, ауд. 218.

С диссертацией можно ознакомиться в Научной библиотеке им. Н.И. Лобачевского Казанского (Приволжского) федерального университета.

Автореферат разослан «__» ноября 2012 г.

Ученый секретарь
диссертационного совета Д 212.081.21
д.ф.-м.н., профессор



Задворнов О.А.

ОБЩАЯ ХАРАКТЕРИСТИКА РАБОТЫ

Введение

Диссертационная работа посвящена разработке теоретико-информационного подхода к построению математических моделей стеганографических объектов, построению математической модели цифрового изображения в формате JPEG, разработке эффективных алгоритмов целочисленной минимизации сепарабельной функции, исследованию свойств стеганографических систем.

Актуальность темы

Цифровая стеганография – наука о скрытой передаче информации, которая часто осуществляется за счет встраивания передаваемого сообщения в некий не вызывающий подозрения цифровой объект путем незначительной его модификации. Результат встраивания передается по каналу связи получателю, который извлекает встроенное сообщение. Это эффективное средство защиты информации, становящееся особенно актуальным в случае, когда применение криптографических методов невозможно или ограничено.

Все применяемые на практике стегосистемы и стегоаналитические атаки явно или неявно опираются на модели стеганографических объектов – контейнеров, в которые встраивается информация, и стего, получаемых в результате встраивания. Чем более точной моделью стеганографических контейнеров располагает стеганограф, тем более стойкую к стегоаналитическим атакам стегосистему он способен построить. И наоборот, если стегоаналитик располагает более точной моделью контейнеров, нежели стеганограф, он часто будет иметь возможность построить эффективную стегоаналитическую атаку. Таким образом, построение более точных моделей стеганографических объектов – актуальная задача, стоящая перед исследователями в области цифровой стеганографии и стегоанализа.

Отметим отсутствие моделей, которые бы опирались на теоретико-информационный подход к стеганографической стойкости, но в то же время

учитывали свойства форматов используемых на практике стеганографических объектов и могли непосредственно использоваться для исследования и совершенствования практических стеганографических систем и стегоаналитических атак. Наличие каждого из этих свойств у математической модели обеспечивает связь между теоретическими основами цифровой стеганографии и практическим применением стеганографических средств защиты информации, обеспечивая тем самым возможность применения существующих теоретических результатов для оценки стойкости современных стегосистем.

JPEG (Joint Photographic Experts Group) – один из самых распространенных форматов цифровых изображений в сети Интернет, что делает его наиболее привлекательным для встраивания информации стеганографическими методами, а потому задача математического моделирования цифровых изображений в формате JPEG особенно актуальна.

Цель и задачи диссертационной работы

Целью диссертационной работы является исследование влияния различных факторов на стойкость стеганографических систем и разработка методов вычисления оптимальных параметров встраивания информации. Для достижения этих целей были поставлены и решены следующие задачи:

1. Исследовать существующие подходы к математическому моделированию стеганографических объектов, способы оценки и повышения стойкости стегосистем;
2. Предложить теоретико-информационный подход к построению математических моделей стеганографических объектов;
3. Построить математическую модель цифрового изображения в формате JPEG, позволяющую исследовать влияние параметров стегосистемы и других факторов на стеганографическую стойкость;
4. Предложить метод повышения стойкости стегосистем в рамках предложенной модели;

5. Разработать эффективные вычислительные алгоритмы решения задач минимизации, возникающих при исследовании математических моделей стеганографических объектов;
6. Реализовать разработанные модели, методы и алгоритмы в виде комплекса программ, позволяющего исследовать проблему оценки и повышения стойкости стегосистем с помощью численных экспериментов;
7. Исследовать влияние параметров скрывающего преобразования и других факторов на стойкость стеганографической системы путем проведения вычислительного эксперимента.

Методы исследования

В диссертационной работе применялись методы теории вероятностей, нелинейного программирования, математического моделирования.

Научная новизна

В диссертационной работе получены следующие новые научные результаты:

1. Предложен теоретико-информационный подход к построению математических моделей стеганографических объектов, основанный на вычислении относительной энтропии;
2. Разработана математическая модель цифрового изображения в формате JPEG, позволяющая исследовать влияние количества встраиваемой информации, стратегии встраивания, свойств изображений-контейнеров, выбранного вектора характеристик на стеганографическую стойкость;
3. Предложен метод нахождения оптимальной стратегии встраивания информации для заданного вектора характеристик;
4. Разработан эффективный вычислительный алгоритм решения возникающей при нахождении оптимальной стратегии стеганографа задачи минимизации сепарабельной функции;

5. Разработан комплекс программ, реализующий модель цифрового изображения в формате JPEG, алгоритмы минимизации функции относительной энтропии и метод нахождения оптимальной стратегии встраивания информации;
6. Исследовано влияние количества встраиваемой информации, стратегии встраивания, выбранного вектора характеристик, фактора качества изображений, используемых в качестве контейнеров, на стойкость стеганографической системы путем проведения вычислительного эксперимента.

Практическая значимость работы

Разработанный подход к математическому моделированию стеганографических объектов позволяет строить модели стеганографических объектов различных форматов, обеспечивающие возможность:

- исследовать стойкость стеганографических систем к наилучшей возможной стегоаналитической атаке, использующей заданный вектор характеристик;
- вычислять оптимальные и субоптимальные стратегии встраивания информации;
- исследовать влияние стратегии встраивания информации, параметров стегосистемы, векторов характеристик, свойств используемых контейнеров на стойкость стегосистемы.

Предложенная математическая модель цифрового изображения в формате JPEG позволяет оценить влияние различных факторов на стойкость встраивания информации алгоритмом nsF5 к наилучшей возможной стегоаналитической атаке, использующей характеристики изображения, составляющие основу наборов характеристик, применение которых в универсальном стегоанализе показано экспериментально. Факторы, влияние которых на стойкость стегосистемы может быть исследовано с помощью

математической модели изображения и реализующего эту модель комплекса программ:

- количество встраиваемой информации;
- стратегия встраивания, заключающаяся в распределении встраиваемой информации между группами DCT-коэффициентов;
- используемый вектор характеристик, пороговые значения используемых характеристик;
- фактор качества и другие свойства изображений-контейнеров.

Возможность проведения анализа влияния этих факторов на стеганографическую стойкость позволяет находить оптимальные и субоптимальные стратегии встраивания информации, совершенствовать стegosистемы и стегоаналитические атаки.

Апробация работы

Основные результаты диссертационной работы докладывались на следующих научных конференциях и семинарах:

1. Научная школа-семинар с международным участием «Компьютерная безопасность и криптография» SIBECRYPT'10, ТюмГУ, г. Тюмень.
2. Научная школа-семинар с международным участием «Компьютерная безопасность и криптография» SIBECRYPT'09, ОмГУ, г. Омск.
3. Семинар на кафедре системного анализа и информационных технологий ИВМиИТ, КФУ, г. Казань.
4. Семинар в Санкт-Петербургском институте информатики и автоматизации РАН (СПИИРАН), г. Санкт-Петербург.
5. IEEE 6th Conference on Cybernetic Systems, 2007, UCD, Dublin.
6. Общероссийская конференция «Математика и безопасность информационных технологий» MaBIT'06, МГУ, Москва.

На защиту выносятся следующие результаты:

1. Теоретико-информационный подход к построению математических моделей стеганографических объектов, обеспечивающий возможность оценки стойкости стegosистемы к наилучшей возможной атаке, использующей заданный вектор характеристик.
2. Математическая модель цифрового изображения в формате JPEG, позволяющая исследовать влияние количества встраиваемой информации, стратегии встраивания, свойств изображений-контейнеров и других факторов на стойкость стegosистемы к наилучшей возможной атаке, использующей заданный вектор характеристик;
3. Метод нахождения оптимальной стратегии встраивания информации, обеспечивающей повышение стойкости стegosистемы.
4. Эффективный вычислительный алгоритм минимизации сепарабельной функции.
5. Комплекс программ, реализующий модель цифрового изображения в формате JPEG, метод нахождения оптимальной стратегии встраивания, алгоритмы минимизации функции относительной энтропии.
6. Результаты численного исследования влияния размера скрываемого сообщения, стратегии встраивания, выбранного вектора характеристик, свойств изображений-контейнеров на стойкость стеганографической системы.

Структура и объем диссертации

Диссертационная работа состоит из введения, четырех глав, заключения и списка использованных источников, содержащего 67 наименований. Объем диссертационной работы составляет 109 страниц, работа содержит 16 рисунков и 7 таблиц.

СОДЕРЖАНИЕ РАБОТЫ

Во **введении** обоснована актуальность выбранной темы, ее научная и практическая значимость.

В **первой главе** приведен обзор существующих подходов к исследованию свойств стеганографических систем и моделированию стеганографических объектов. Выявлено отсутствие моделей, которые бы опирались на теоретико-информационный подход к стеганографической стойкости, но в то же время учитывали свойства форматов цифровых объектов, используемых на практике, и могли непосредственно применяться для исследования и совершенствования существующих стеганографических систем.

В целях обоснования расставленных в работе приоритетов при построении математической модели рассмотрены существующие подходы к понятию стеганографической стойкости, существующие способы ее повышения, проведен анализ существующих методов встраивания информации и современных методов стегоанализа.

Вторая глава посвящена математическому моделированию стеганографических объектов, построению математической модели цифрового изображения в формате JPEG.

Теоретико-информационный подход к построению математических моделей стеганографических объектов. Предлагаемый теоретико-информационный метод построения моделей стеганографических объектов основан на:

- особом подходе к стеганографической стойкости, заключающемся в исследовании стойкости стегосистемы к наилучшей возможной атаке, использующей заданный вектор характеристик;
- особом подходе к структуре стеганографического объекта, заключающемся в представлении объекта в качестве набора непересекающихся групп коэффициентов.

Пусть \mathbf{c} – стеганографический контейнер. Зафиксируем некоторый вектор $\mathbf{f}(\mathbf{c})$ элементов стеганографического объекта \mathbf{c} , распределение которых исследуется некоторым множеством стегоаналитических атак. В качестве критерия стойкости стегосистемы к стегоаналитическим атакам из этого множества можно рассматривать относительную энтропию $D(P_{\mathbf{f}} \parallel \bar{P}_{\mathbf{f}})$, где $P_{\mathbf{f}}$ – распределение вектора \mathbf{f} элементов контейнера, а $\bar{P}_{\mathbf{f}}$ – распределение вектора \mathbf{f} элементов стего. Вектор значений, которым описывается распределение вектора $\mathbf{f}(\mathbf{c})$, будем называть вектором характеристик стеганографического объекта.

Ключевой идеей предлагаемого подхода к структуре стеганографического объекта, контейнера или стего, является его представление в виде непересекающихся статистически однородных групп элементов, модифицируемых в процессе встраивания информации. Таким образом, стеганографический объект \mathbf{c} , контейнер или стего, представлен в виде набора групп коэффициентов:

$$\mathbf{c} = \{\mathbf{c}^{(u)}\}_{u=1}^{u=g},$$

где g – количество групп. Каждая группа $\mathbf{c}^{(u)}$ представляет собой вектор коэффициентов:

$$\mathbf{c}^{(u)} = \{c_i^{(u)}\}_{i=1}^{i=n_u},$$

где n_u – количество элементов в u -й группе.

Построение модели стеганографического объекта в рамках этого метода подразумевает:

- разбиение множества элементов стеганографического объекта на непересекающиеся статистически однородные группы;
- выбор вектора характеристик, подаваемого стегоаналитиком на вход стегоаналитическим атакам;
- оценку распределения элементов контейнера на основе эмпирических данных;

- вычисление распределения элементов стего;
- вычисление относительной энтропии между распределениями элементов контейнеров и стего.

Вычисленная на последнем этапе относительная энтропия между распределениями элементов контейнеров и стего характеризует стойкость стегосистемы к наилучшей возможной атаке, использующей данный вектор характеристик.

Метод повышения стойкости стеганографических систем.

Предлагаемый метод повышения стойкости стеганографических систем заключается в построении математической модели стеганографического объекта и решении следующей задачи нахождения оптимальной стратегии встраивания – вектора \mathbf{x} , каждая компонента которого равна количеству битов сообщения, встраиваемых в соответствующую группу элементов контейнера:

$$D(P_f \parallel \bar{P}_f(\mathbf{x})) \rightarrow \min$$

$$\mathbf{x} = \{x_i\}_{i=1}^{i=g}, \sum_{u=1}^g x_u = l, 0 \leq x_u \leq k_u, u = 1, 2, \dots, g,$$

где l – количество битов во встраиваемом сообщении, k_u – количество элементов u -й группы, которое может быть модифицировано при встраивании информации, x_u – количество битов, встраиваемых в элементы u -й группы.

Модель цифрового изображения в формате JPEG. Квантованные DCT-коэффициенты цифрового изображения в формате JPEG разбиваются на 64 группы, принадлежность конкретного коэффициента группе определяется параметрами его вычисления в процессе применения дискретного косинусного преобразования к блоку из 64 пикселей изображения (иначе говоря, индексами коэффициента в блоке). Таким образом, одна из 64 групп состоит из DC-коэффициентов, остальные 63 группы – из AC-коэффициентов.

В качестве стеганографического алгоритма был выбран алгоритм nsF5 как наиболее стойкий метод встраивания информации в изображения в формате JPEG, не использующий стороннюю информацию.

Через T обозначим максимальное возможное абсолютное значение DCT-коэффициента. В работе рассмотрены следующие векторы характеристик.

1. Дискретное распределение DCT-коэффициентов каждой из g групп. Относительная энтропия между распределениями элементов контейнеров и стего вычисляется следующим образом:

$$D(P_H \parallel \bar{P}_H(\mathbf{x})) = \sum_{u=1}^g n_u \sum_{i=-T}^T h_i^{(u)} \log_2 \frac{h_i^{(u)}}{\bar{h}_i^{(u)}},$$

где $h_i^{(u)} = P(c^{(u)} = i)$, $\bar{h}_i^{(u)} = P(\bar{c}^{(u)} = i)$.

2. Матрицы переходных вероятностей простой марковской цепи, образованной последовательностью абсолютных значений принадлежащих соседним блокам DCT-коэффициентов одной группы для каждой из g групп. Относительная энтропия между распределениями элементов контейнеров и стего вычисляется следующим образом:

$$D(P_V \parallel \bar{P}_V(\mathbf{x})) = \sum_{u=1}^g n_u \sum_{i=0}^T \sum_{j=0}^T v_{ij}^{(u)} h_i^{(u)} \log_2 \frac{v_{ij}^{(u)}}{\bar{v}_{ij}^{(u)}},$$

где $v_{ij}^{(u)} = P(|c_s^{(u)}| = j \mid |c_{s-1}^{(u)}| = i)$, $\bar{v}_{ij}^{(u)} = P(|\bar{c}_s^{(u)}| = j \mid |\bar{c}_{s-1}^{(u)}| = i)$.

3. Матрицы переходных вероятностей простой марковской цепи, образованной последовательностью разностей абсолютных значений соседних DCT-коэффициентов блока вдоль одного из четырех направлений: горизонтального, вертикального, вдоль главной диагонали, вдоль побочной диагонали. Вероятность $P(c_i^{(u)} = \alpha, |c_i^{(u)}| - |c_i^{(u_\lambda)}| = \sigma, |c_i^{(u_\lambda)}| - |c_i^{(u_{\lambda\lambda})}| = \tau)$ обозначим через $\mu_\alpha^{(u,\lambda)}(\sigma, \tau)$, где $\lambda \in \{h, v, d, m\}$ – одно из четырех направлений. Взаимное расположение коэффициентов в блоке в зависимости от направления λ представлено на (рис. 1).

$$\begin{array}{ccc} c_i^{(u_{dd})} & c_i^{(u_{vv})} & c_i^{(u_{mm})} \\ & c_i^{(u_d)} & c_i^{(u_v)} & c_i^{(u_m)} \\ c_i^{(u_{hh})} & c_i^{(u_h)} & c_i^{(u)} \end{array}$$

Рисунок 1 – Взаимное расположение элементов групп u , u_h , u_{hh} , u_v , u_{vv} , u_d , u_{dd} , u_m , u_{mm} в i -м блоке коэффициентов

Вычисление относительной энтропии между распределениями элементов контейнеров и стего при использовании в качестве вектора характеристик матриц переходных вероятностей, описывающих корреляцию между DCT-коэффициентами блока вдоль направления λ :

$$D(P_{M^{(\lambda)}} \parallel \bar{P}_{M^{(\lambda)}}(\mathbf{x})) = \sum_{u=1}^g n_u \sum_{s=-T}^T \sum_{t=-T}^T m_{st}^{(u,\lambda)} \psi_s^{(u,\lambda)} \log_2 \frac{m_{st}^{(u,\lambda)}}{\bar{m}_{st}^{(u,\lambda)}},$$

где $\psi_s^{(u,\lambda)} = \sum_{\tau=-T}^T \sum_{\alpha=-T}^T \mu_{\alpha}^{(u,\lambda)}(s, \tau)$, $m_{st}^{(u,\lambda)} = P(|c_i^{(u,\lambda)}| - |c_i^{(u,\lambda\lambda)}| = s \mid |c_i^{(u)}| - |c_i^{(u,\lambda)}| = t)$, $\bar{m}_{st}^{(u,\lambda)} = P(|\bar{c}_i^{(u,\lambda)}| - |\bar{c}_i^{(u,\lambda\lambda)}| = s \mid |\bar{c}_i^{(u)}| - |\bar{c}_i^{(u,\lambda)}| = t)$, $\lambda \in \{h, v, d, m\}$ – одно из четырех направлений.

4. Объединенный вектор характеристик. Через $w^{(u)}(a, b, \mathbf{t}, \tilde{\mathbf{t}})$ обозначим вероятность $P(c_i^{(u)} = a, c_{i-1}^{(u)} = b, \mathbf{s}_c^{(u,i)} = \mathbf{t}, \tilde{\mathbf{s}}_c^{(u,i)} = \tilde{\mathbf{t}})$, а через $w_{b,\mathbf{t}}^{(u)}(a, \tilde{\mathbf{t}})$ и $\bar{w}_{b,\mathbf{t}}^{(u)}(a, \tilde{\mathbf{t}})$ – соответственно условные вероятности $P(c_i^{(u)} = a, \tilde{\mathbf{s}}_c^{(u,i)} = \tilde{\mathbf{t}} \mid c_{i-1}^{(u)} = b, \mathbf{s}_c^{(u,i)} = \mathbf{t})$ и $P(\bar{c}_i^{(u)} = a, \tilde{\mathbf{s}}_c^{(u,i)} = \tilde{\mathbf{t}} \mid \bar{c}_{i-1}^{(u)} = b, \mathbf{s}_c^{(u,i)} = \mathbf{t})$, где $\mathbf{t} = \{t_i\}_{i=1}^{i=4}$, $\tilde{\mathbf{t}} = \{\tilde{t}_i\}_{i=1}^{i=4}$, $\mathbf{s}_c^{(u,i)} = \{|c_i^{(u)}| - |c_i^{(u,\lambda)}|\}_{\lambda=h,v,d,m}$, $\tilde{\mathbf{s}}_c^{(u,i)} = \{|\bar{c}_i^{(u,\lambda)}| - |\bar{c}_i^{(u,\lambda\lambda)}|\}_{\lambda=h,v,d,m}$.

Относительная энтропия между распределениями элементов контейнеров и стего вычисляется следующим образом:

$$D(P_W \parallel \bar{P}_W(\mathbf{x})) = \sum_{u=1}^g n_u \sum_{a=-T}^T \sum_{b=-T}^T \sum_{\mathbf{t} \in \Theta} \sum_{\tilde{\mathbf{t}} \in \Theta} w^{(u)}(a, b, \mathbf{t}, \tilde{\mathbf{t}}) \log_2 \frac{w_{b,\mathbf{t}}^{(u)}(a, \tilde{\mathbf{t}})}{\bar{w}_{b,\mathbf{t}}^{(u)}(a, \tilde{\mathbf{t}})},$$

где $\Theta = \{\mathbf{t} = \{t_i\}_{i=1}^{i=4} \mid -T \leq t_i \leq T, 1 \leq i \leq 4\}$.

В этой главе получены формулы для вычисления всех вышеперечисленных векторов характеристик.

В третьей главе рассматривается задача целочисленной минимизации сепарабельной функции, к которой сводится задача нахождения оптимальной стратегии встраивания информации при построении математических моделей стеганографических объектов некоторых типов в соответствии с предлагаемым подходом.

В рамках данной работы предлагается эффективный алгоритм решения следующей задачи:

$$D(\mathbf{x}) \rightarrow \min$$

$$\mathbf{x} = \{x_i\}_{i=1}^{i=g}, 0 \leq x_i \leq n, x_i \in \mathbf{Z}, i = 1, 2, \dots, g, \sum_{i=1}^g x_i = l, \quad (1)$$

где $D(\mathbf{x}) = \sum_{i=1}^g d_i(x_i)$ – сепарабельная функция, а функции d_i удовлетворяют

следующим условиям:

1. $\Delta d_i(x_i) \geq 0$,
2. $\forall i \exists z_i, 0 < z_i < n$:
 $\Delta d_i(x_i) - \Delta d_i(x_i - 1) \geq 0$ при $x_i \leq z_i$,
 $\Delta d_i(x_i) - \Delta d_i(x_i - 1) < 0$ при $n > x_i > z_i$.
3. $\forall i, j$: если $\exists x: \Delta d_i(x) < \Delta d_j(x)$, то $d_i(x) \leq d_j(x)$, $\Delta d_i(x) \leq \Delta d_j(x)$ для любого $x, 0 < x \leq n$.

Прежде чем перейти к описанию самого алгоритма, введем некоторые обозначения. Пронумеруем функции d_i таким образом, что если $i > j$, то не существует такого x , что $\Delta d_i(x) < \Delta d_j(x)$.

Рассмотрим задачу минимизации:

$$\sum_{i=u}^g d_i(y_i^{(u,l)}) \rightarrow \min$$

$$y_i^{(u,l)} = 0, i = 1, 2, \dots, u-1, \quad (2)$$

$$\sum_{i=u}^g y_i^{(u,l)} = l, 0 \leq y_i^{(u,l)} \leq z_i, y_i^{(u,l)} \in \mathbf{Z}, i = u, u+1, \dots, g.$$

Через $\mathbf{y}^{(u,l)} = \{y_i^{(u,l)}\}_{i=1}^{i=g}$ обозначим вектор, являющийся решением задачи (2), которое может быть получено с помощью эффективного «жадного» алгоритма.

Введем функции $f_u(l) = \sum_{i=u}^g d_i(y_i^{(u,l)}), \quad \Delta f_u(l) = f_u(l) - f_u(l-1)$ и

$D_{u,l}(x_u) = \sum_{i=1}^{u-1} d_i(n) + d_u(x_u) + f_{u+1}(l - x_u - n(u-1))$, положим

$$\Delta D_{u,l}(x_u) = D_{u,l}(x_u) - D_{u,l}(x_u - 1) = \Delta d_u(x_u) - \Delta f_{u+1}(l - x_u + 1 - n(u-1)).$$

Также введем вектор $\mathbf{q} = \{q_i\}_{i=1}^{i=g}, q_i = y_i^{(i, l-n(i-1))}$.

Алгоритм решения задачи (1) состоит в следующем:

Шаг 1. Полагаем $k := \left\lfloor \frac{l}{n} \right\rfloor$;

Шаг 2. Полагаем $u := k$;

Шаг 3. Вычисляем $D_u := \min_{q_u \leq x_u \leq n} D_{u,l}(x_u), \alpha_u := \arg \min_{q_u \leq x_u \leq n} D_{u,l}(x_u)$;

Шаг 4. Если $u > 1$ и $q_u < z_u$, то полагаем $u := u - 1$ и переходим к Шагу 3;

Шаг 5. Выбираем v такое, что $D_v = \min_{s \leq u \leq k} D_u$;

Шаг 6. Результат: вектор $\bar{\mathbf{x}} = \{\bar{x}_i\}_{i=1}^{i=g}$:

$$\bar{x}_i = \begin{cases} n, & i < v, \\ \alpha_v, & i = v, \\ y_i^{(v+1, l-n(v-1)-\alpha_v)}, & i > v. \end{cases} \quad (3)$$

Также в третьей главе доказываются следующие теоремы:

Теорема. Вектор $\bar{\mathbf{x}} = \{\bar{x}_i\}_{i=1}^{i=g}$, определенный согласно (3), является решением задачи (1).

Теорема. Асимптотическая сложность алгоритма равна $O(gl)$.

Четвертая глава посвящена описанию разработанного комплекса программ, реализующего предложенные модели, методы и алгоритмы, позволяющего исследовать влияние различных факторов на стойкость стеганографической системы, и проведенному вычислительному эксперименту.

С помощью проведенных экспериментов было исследовано влияние следующих факторов на стойкость встраивания информации в изображение в формате JPEG к наилучшей возможной атаке, использующей заданный вектор характеристик:

- размер скрываемого сообщения;
- стратегия встраивания информации, описывающей количество информации, встраиваемой в элементы каждой из групп;
- фактор качества изображений в формате JPEG;
- выбранный вектор характеристик;
- пороговые значения для различных векторов характеристик.

Также было исследовано влияние выбранной стратегии встраивания на стойкость стегосистемы к практическим стегоаналитическим атакам, использующим классификатор на основе метода опорных векторов.

В заключении перечислены основные результаты работы:

1. Исследованы существующие подходы к математическому моделированию стеганографических объектов, способы оценки и повышения стойкости стегосистем;
2. Предложен теоретико-информационный подход к построению математических моделей стеганографических объектов;
3. Построена математическая модель цифрового изображения в формате JPEG, позволяющая исследовать влияние количества встраиваемой информации и параметров скрывающего преобразования на стойкость системы;
4. Предложен метод повышения стойкости стеганографических систем;
5. Разработан эффективный вычислительный алгоритм решения возникающей при вычислении оптимальной стратегии встраивания для некоторых типов стеганографических объектов задачи минимизации сепарабельной функции;
6. Разработан комплекс программ, реализующий разработанные модели, методы и алгоритмы, позволяющий исследовать влияние различных

факторов на стойкость стеганографических систем с помощью вычислительных экспериментов;

7. Исследовано влияние различных факторов на стойкость стеганографической системы путем проведения вычислительного эксперимента.

Список опубликованных работ по теме диссертации

Публикации в изданиях из перечня рецензируемых научных журналов, рекомендуемых ВАК:

1. Разинков Е.В. Математическое моделирование стеганографических объектов / Е.В. Разинков // Ученые записки Казанского университета. Серия Физ.-мат. науки. – 2011. – Т. 153, кн. 4. – С. 176–188.
2. Разинков Е.В., Латыпов Р.Х. Стойкость стеганографических систем / Е.В. Разинков, Р.Х. Латыпов // Ученые записки Казанского государственного университета. Серия Физ.-мат. науки. – 2009. – Т. 151, кн. 2. – С. 126–132.
3. Разинков Е.В., Латыпов Р.Х. Скрытая передача информации с использованием границ объектов / Е.В. Разинков, Р.Х. Латыпов // Ученые записки Казанского государственного университета. Серия Физ.-мат. науки. – 2007. – Т. 149, кн. 2. – С. 128–137.

Прочие публикации:

4. Разинков Е.В., Латыпов Р.Х. О правиле выбора элементов стеганографического контейнера в скрывающем преобразовании / Е.В. Разинков, Р.Х. Латыпов // Прикладная дискретная математика (Приложение). – 2010. – №3. – С. 39–41.
5. Razinkov E.V., Latypov R.Kh. Image Steganography Technique Using Objects Outlines / E.V. Razinkov, R.Kh. Latypov // Proc. of IEEE SMC UK&RI 6th Conference on Cybernetic Systems 2007, September 6–7, 2007. – P. 46–50.